УДК 539.23; 539.216.1; 537.311.322

В. Д. Кревчик, М. Б. Семенов, Р. В. Зайцев, А. К. Арынгазин, К. Ямамото, В. А. Рудин, П. В. Кревчик, И. А. Егоров

# ОСОБЕННОСТИ ДИССИПАТИВНОГО ТУННЕЛИРОВАНИЯ В КВАНТОВОЙ МОЛЕКУЛЕ С УЧЕТОМ ДВУХ ФОНОННЫХ МОД ДИЭЛЕКТРИЧЕСКОЙ МАТРИЦЫ<sup>1</sup>

Аннотация. Рассматривается модель 1D-диссипативного туннелирования для структур из квантовых точек в системе совмещенного ACM/CTM в условиях внешнего электрического поля. Найдено, что влияние двух локальных мод матрицы среды термостата на вероятность 1D-диссипативного туннелирования приводит к появлению нескольких неэквидистантных пиков в соответствующей полевой зависимости. Полученная теоретическая зависимость качественно согласуется с экспериментальной вольт-амперной характеристикой контакта ACM зонда к поверхности квантовой точки из InAs.

*Ключевые слова*: диссипативное туннелирование, квантовая точка, квантовая молекула, фононные моды среды-термостата.

Absract. Thearticle considers a 1D-dissipative tunneling model for structures with quantum dots in a system of joint AFM/STM in external electric field. It has been found, that the influence of two local modes of a heat-bath on the 1d - dissipative tunnel probability leads to appearance of some non - equidistant peaks in corresponding dependence on the electric field intensity. The obtained theoretical dependence qualitatively corresponds to experimental VAC for the AFM cantilever contact to the surface of a quantum dot from InAs.

Key words: dissipative tunneling, quantum dot, quantum molecule, phonon modes of a heat-bath.

## Введение

Помимо хорошо известных приложений теории диссипативного туннелирования для описания систем с контактами Джозефсона и низкотемпературных адиабатических химических реакций, идущих по туннельному механизму, в последнее время все более широкое внимание уделяется развитию этой науки применительно к системам с квантовыми точками и квантовыми молекулами [1-10].

Изучение проблемы управляемости квантовых эффектов, связанных с диссипативной туннельной динамикой в низкоразмерных системах различной природы, является актуальной проблемой современной физики конденсированного состояния. В последние годы активизировались исследования управляемых туннельных эффектов в системах полупроводниковых квантовых точек (КТ), квантовых молекул (КМ) и взаимодействующих КМ, а также в экспериментах с СТМ/АСМ при исследовании параметров низкоразмерных структур из металлических КТ. Исследована термо- и электроуправляемость

<sup>&</sup>lt;sup>1</sup> Работа выполнена при финансовой поддержке РФФИ (грант № 12-02-97002), Фонда фундаментальных исследований в области естественных наук Министерства науки Республики Казахстан (грант № 1253/ГФ) и федеральной целевой программы «Научные и научно-педагогические кадры инновационной России» на 2009–2013 годы Министерства образования и науки Российской Федерации (грант № 01201278459).

и особенности диссипативного туннельного переноса в 1D- и 2D-симметричных и асимметричных системах с полупроводниковыми квантовыми точками и квантовыми молекулами [10].

Данная работа была инициирована проведенным в [10] экспериментом по измерению туннельных вольт-амперных характеристик (ВАХ) в полупроводниковых InAs KT, где были обнаружены несколько неэквидистантных пиков, интерпретированных нами ранее в рамках модели 1D-диссипативного туннелирования с учетом одной локальной фононной моды. При этом предложенная теоретическая модель позволила выявить только два единичных пика, один из которых оказался неустойчивым, что не вполне соответствовало имеющимся экспериментальным данным. В связи с этим в данной работе рассматривается модель 1*D*-диссипативного туннелирования с учетом влияния двух промотирующих фононных мод матрицы среды термостата для процесса туннелирования через структуру единичных квантовых точек в системе совмещенного АСМ/СТМ. Проводится качественное сравнение теоретической кривой вероятности 1D-туннелирования с BAX контакта ACM зонда к поверхности КТ из InAs (совместная работа «Визуализация локальной плотности состояний в квантовых точках InAs/GaAs методом комбинированной АСМ/СТМ», П. А. Бородин, А. А. Бухараев (Казанский физико-технический институт КНЦ РАН), Д. О. Филатов, Д. А. Воронцов и др. (ННГУ им. Н. И. Лобачевского)).

#### Используемые модели

Для того чтобы воспользоваться стандартной моделью для определения вероятности диссипативного туннелирования, будем использовать следующие обозначения для перенормированного двухъямного осцилляторно-

го потенциала во внешнем электрическом поле: 
$$q_1 = b^* = b + \frac{|e|E}{\omega_0^2}$$
,

$$q_0 = a^* = a - \frac{|e| \, E}{\omega_0^2}$$
 . Тогда модельный перенормированный 1 $D$ -потенциал мож-

но представить в стандартном виде. С учетом результатов, полученных ранее в [8-10], модельный гамильтониан системы может быть записан как

$$\widehat{H} = \frac{p_1^2}{2} + v_1(y_1) + y_1 \sum_{\alpha=2}^{N} C_{\alpha} y_{\alpha} + \frac{1}{2} \sum_{\alpha=2}^{N} \left( p_{\alpha}^2 + \omega_{\alpha}^2 y_{\alpha}^2 \right), \tag{1}$$

где

$$v_{1}(y_{1}) = \left(\frac{1}{2}\omega_{1}^{2}y_{1}^{2} + \lambda y_{1}\right)\theta\left(-\frac{\Delta I}{2\lambda} - y_{1}\right) + \left(\frac{1}{2}\omega_{1}^{2}y_{1}^{2} - \lambda y_{1} - \Delta I\right)\theta\left(\frac{\Delta I}{2\lambda} + y_{1}\right). (2)$$

Вероятность туннелирования частицы в единицу времени может быть найдена в квазиклассическом приближении. Необходимо, чтобы дебройлевская длина волны частицы была много меньше характерного линейного масштаба потенциала. Для этого вполне достаточно, чтобы высота барьера была много больше энергии нулевых колебаний в яме начального состояния. Кроме квазиклассического приближения мы должны предположить квазистационарность распада, т.е. ширина уровня  $\Gamma$ , с которого туннелирует частица, должна быть много меньше энергии нулевых колебаний.

# Расчет вероятности 1*D*-диссипативного туннелирования с учетом двух локальных фононных мод среды – термостата

Находим 1D-квазиклассическое действие в одноинстантонном приближении с учетом влияния матрицы среды — термостата:

$$S_{B} = 2\omega_{0}^{2} (q_{0} + q_{1}) q_{0} \tau_{0} - \frac{2\omega_{0}^{2} (q_{0} + q_{1})^{2} \tau_{0}^{2}}{\beta} - \frac{4\omega_{0}^{4} (q_{0} + q_{1})^{2}}{\beta} \sum_{n=1}^{\infty} \frac{\sin^{2} \nu_{n} \tau_{0}}{\nu_{n}^{2} (\nu_{n}^{2} + \omega_{0}^{2} + \zeta_{n})}.$$
(3)

Предэкспоненциальный множитель определяется вкладом траекторий, близко расположенных от инстантона. Для этого мы должны разложить действие до квадратичного члена по отклонениям  $q-q_B$  и проинтегрировать в функциональном пространстве. Тогда вероятность туннелирования в единицу времени можно записать как

$$\Gamma = B \exp(-S_R); \tag{4}$$

$$B = \begin{bmatrix} \frac{S_0}{2\pi} \cdot \frac{\det\left(\frac{\delta^2 S}{\delta q^2}\right)_{q=-q_0}}{\det'\left(\frac{\delta^2 S}{\delta q^2}\right)_{q=q_B(\tau)}} \end{bmatrix}^{1/2};$$
 (5)

$$S_0 = \int_{-\beta/2}^{\beta/2} \dot{q}_B^2(\tau) d\tau,$$
 (6)

а det' означает, что нулевое собственное значение, соответствующее нулевой моде инстантона, опущено. Отметим, что вывод этой формулы предполагает приближение идеального инстантонного газа

$$\Gamma << (\Delta \tau)^{-1}, \tag{7}$$

где  $\Delta \tau$  — ширина перехода от положительного значения траектории к отрицательному. Вычисление предэкспоненциального множителя в рассматриваемой модели приводит к результату

$$B = \frac{2\omega_0^2 (q_0 + q_1)^2}{(2\pi\beta)^{1/2}} \cdot \sum_{n = -\infty}^{\infty} \frac{\sin^2 \nu_n \tau_0}{\lambda_{0n}} \left( \sum_{n = -\infty}^{\infty} \frac{\cos 2\nu_n \tau_0}{\lambda_{0n}} \right)^{-1/2}.$$
 (8)

Рассмотрим (9) с учетом взаимодействия с двумя локальными фононными модами ( $\omega_{L1} = \omega_2$  и  $\omega_{L2} = \omega_3$ ). Для упрощения будем предполагать это взаимодействие достаточно малым, т.е.  $\frac{C}{\omega_2} << 1$  и  $\frac{C}{\omega_1} << 1$ . В этом случае

$$\zeta_n = v_n^2 \sum_{\alpha=2}^N \frac{{C_\alpha}^2}{{\omega_\alpha}^2 \left({\omega_\alpha}^2 + {v_n}^2\right)},$$

где 
$$v_n = \frac{2\pi n}{\beta}$$
,  $\beta = \frac{\hbar}{kT}$ .

$$\zeta_n = v_n^2 \frac{C_2^2}{\omega_2^2(\omega_2^2 + v_n^2)} + v_n^2 \frac{C_3^2}{\omega_3^2(\omega_3^2 + v_n^2)}; \quad \sin^2 v_n \tau_0 = \frac{1}{2} (1 - \cos 2v_n \tau_0).$$

В результате сумма в последнем слагаемом выражения (3) перепишется в виде

$$(*) = \frac{1}{2} \sum_{n=1}^{\infty} \frac{1}{v_n^2 (v_n^2 + \omega_0^2 + v_n^2 \frac{C_2^2}{\omega_2^2 (\omega_2^2 + v_n^2)} v_n^2 + \frac{C_3^2}{\omega_3^2 (\omega_3^2 + v_n^2)})} - \underbrace{\frac{1}{v_n^2 (v_n^2 + \omega_0^2 + v_n^2)} v_n^2 + \frac{C_3^2}{\omega_3^2 (\omega_3^2 + v_n^2)}}_{*1})$$

$$-\frac{1}{2}\sum_{n=1}^{\infty} \frac{\cos 2\nu_{n}\tau_{0}}{\nu_{n}^{2}(\nu_{n}^{2}+\omega_{0}^{2}+\nu_{n}^{2}\frac{C_{2}^{2}}{\omega_{2}^{2}(\omega_{2}^{2}+\nu_{n}^{2})}\nu_{n}^{2}+\frac{C_{3}^{2}}{\omega_{3}^{2}(\omega_{3}^{2}+\nu_{n}^{2})}};$$
(9)

$$*_{1} = \frac{1}{2} \sum_{n=1}^{\infty} \omega_{2}^{2} \omega_{2}^{3} (\omega_{2}^{2} + v_{n}^{2}) (\omega_{3}^{2} + v_{n}^{2}) \Big\{ v_{n}^{2} \Big[ (v_{n}^{2} + \omega_{0}^{2}) \omega_{2}^{2} \omega_{3}^{2} (\omega_{2}^{2} + v_{n}^{2}) (\omega_{3}^{2} + v_{n}^{2}) + (\omega_{3}^{2} + v_{n}^{2}) (\omega_{3}^{2} + v_{n}^{2}) \Big\} \Big\}$$

$$\left. + (v_n^2 + \omega_0^2) \omega_2^2 \omega_3^2 (\omega_2^2 + v_n^2) (\omega_3^2 + v_n^2) + v_n^2 C_2^2 \omega_3^2 (\omega_3^2 + v_n^2) + v_n^2 C_3^2 \omega_2^2 (\omega_2^2 + v_n^2) \right] \right\}^{-1}.$$

Обозначим  $v_2^2 = x$  и преобразуем выражение в знаменателе:

$$\begin{split} x \bigg[ & (x + \omega_0^2) \omega_2^2 \omega_3^2 (x + \omega_2^2) (x + \omega_3^2) + x C_2^2 \omega_3^2 (x + \omega_3^2) + x C_3^2 \omega_2^2 (x + \omega_2^2) \bigg] = \\ & = x \bigg[ \omega_2^4 \omega_3^4 x + \omega_2^2 \omega_3^2 x^3 + \omega_2^2 \omega_3^2 x^2 (\omega_2^2 + \omega_3^2) + \omega_2^4 \omega_3^4 \omega_0^2 + \omega_2^2 \omega_3^2 \omega_0^2 x^2 + \\ & + \omega_2^2 \omega_3^2 \omega_0^2 x (\omega_2^2 + \omega_3^2) + C_2^2 \omega_3^4 x + C_2^2 \omega_3^2 x^2 + C_3^2 \omega_2^4 x + C_3^2 \omega_2^2 x^2 \bigg] = \\ & = x \bigg[ \omega_2^4 \omega_3^2 x^3 + x^2 \bigg\{ \omega_2^2 \omega_3^2 (\omega_2^2 + \omega_3^2) + \omega_0^2 \omega_2^2 \omega_3^2 + C_2^2 \omega_3^2 + C_3^2 \omega_2^2 \bigg\} + \\ & + x \bigg\{ \omega_2^4 \omega_3^4 + \omega_0^2 \omega_2^2 \omega_3^2 (\omega_2^2 + \omega_3^2) + C_2^2 \omega_3^4 + C_3^2 \omega_2^4 \bigg\} + \omega_0^2 \omega_2^4 \omega_3^4 \bigg] = \\ & = x \omega_2^2 \omega_3^2 \bigg[ x^3 + x^2 \bigg\{ \omega_2^2 + \omega_3^2 + \omega_3^2 + \omega_0^2 + \frac{C_2^2}{\omega_2^2} + \frac{C_3^2}{\omega_2^2} \bigg\} + \\ & = x \omega_2^2 \omega_3^2 \bigg[ x^3 + x^2 \bigg\{ \omega_2^2 + \omega_3^2 + \omega_3^2 + \omega_0^2 + \frac{C_2^2}{\omega_2^2} + \frac{C_3^2}{\omega_2^2} \bigg\} + \\ & = x \omega_2^2 \omega_3^2 \bigg[ x^3 + x^2 \bigg\{ \omega_2^2 + \omega_3^2 + \omega_0^2 + \frac{C_2^2}{\omega_2^2} + \frac{C_3^2}{\omega_2^2} \bigg\} + \\ & = x \omega_2^2 \omega_3^2 \bigg[ x^3 + x^2 \bigg\{ \omega_2^2 + \omega_3^2 + \omega_0^2 + \frac{C_2^2}{\omega_2^2} + \frac{C_3^2}{\omega_2^2} \bigg\} + \\ & = x \omega_2^2 \omega_3^2 \bigg[ x^3 + x^2 \bigg\{ \omega_2^2 + \omega_3^2 + \omega_3^2 + \omega_0^2 + \frac{C_2^2}{\omega_2^2} + \frac{C_3^2}{\omega_2^2} \bigg\} + \\ & = x \omega_2^2 \omega_3^2 \bigg[ x^3 + x^2 \bigg\{ \omega_2^2 + \omega_3^2 + \omega_3^2 + \omega_0^2 + \frac{C_2^2}{\omega_2^2} + \frac{C_3^2}{\omega_2^2} \bigg\} + \\ & = x \omega_2^2 \omega_3^2 \bigg[ x^3 + x^2 \bigg\{ \omega_2^2 + \omega_3^2 + \omega_3^2 + \omega_0^2 + \frac{C_2^2}{\omega_2^2} + \frac{C_3^2}{\omega_2^2} \bigg\} + \\ & = x \omega_2^2 \omega_3^2 \bigg[ x^3 + x^2 \bigg\{ \omega_2^2 + \omega_3^2 + \omega_3^2 + \omega_0^2 + \frac{C_2^2}{\omega_2^2} + \frac{C_3^2}{\omega_2^2} \bigg\} + \\ & = x \omega_2^2 \omega_3^2 \bigg[ x^3 + x^2 \bigg\{ \omega_2^2 + \omega_3^2 + \omega_3^2 + \omega_0^2 + \frac{C_2^2}{\omega_2^2} + \frac{C_3^2}{\omega_2^2} \bigg\} + \\ & = x \omega_2^2 \omega_3^2 \bigg[ x^3 + x^2 \bigg\{ \omega_2^2 + \omega_3^2 + \omega_3^2 + \omega_0^2 + \frac{C_2^2}{\omega_2^2} + \frac{C_3^2}{\omega_2^2} \bigg\} + \\ & = x \omega_2^2 \omega_3^2 \bigg[ x^3 + x^2 \bigg\{ \omega_2^2 + \omega_3^2 + \omega_3^2 + \frac{C_2^2}{\omega_2^2} + \frac{C_3^2}{\omega_2^2} + \frac{C_3^2}{\omega_2^2} \bigg\} + \\ & = x \omega_2^2 \omega_3^2 \bigg[ x^3 + x^2 \bigg\{ \omega_2^2 + \omega_3^2 + \omega_3^2 + \frac{C_2^2}{\omega_2^2} + \frac{C_3^2}{\omega_2^2} + \frac{C_3^2}{\omega_2^2} \bigg\} + \\ & = x \omega_2^2 \omega_3^2 \bigg[ x^3 + x^2 \bigg\{ \omega_2^2 + \omega_3^2 + \omega_3^2 + \frac{C_2^2}{\omega_2^2} + \frac{C_2^2}{\omega_2^2} + \frac{C_2^2}{\omega_2^2} + \frac{C_2^2}{\omega_2^2} \bigg\} + \\ & = x \omega_2^2 \omega_3^2 \bigg[ x^2 + \omega_3^$$

$$+x\left\{\omega_{2}^{2}\omega_{3}^{2}+\omega_{0}^{2}(\omega_{2}^{2}+\omega_{3}^{2})+\frac{C_{2}^{2}\omega_{3}^{2}}{\omega_{2}^{2}}+\frac{C_{3}^{2}\omega_{2}^{2}}{\omega_{3}^{2}}\right\}+\omega_{0}^{2}\omega_{2}^{2}\omega_{3}^{2}\right].$$

Введем обозначения:

$$\begin{split} "A" &= \omega_2^2 + \omega_3^2 + \omega_0^2 + \frac{C_2^2}{\omega_2^2} + \frac{C_3^2}{\omega_3^2} \,, \\ "B" &= \omega_2^2 \omega_3^2 + \omega_0^2 (\omega_2^2 + \omega_3^2) + \frac{C_2^2 \omega_3^2}{\omega_2^2} + \frac{C_3^2 \omega_2^2}{\omega_3^2} \,, \ "C" = \omega_0^2 \omega_2^2 \omega_3^2 \,, \end{split}$$

тогда выражение в знаменателе первого слагаемого в (9) примет вид

$$x\omega_2^2\omega_3^2\underbrace{[x^3 + Ax^2 + Bx + C]}_{=0} = x\omega_2^2\omega_3^2(x - x_1)(x - x_2)(x - x_3).$$

Обозначим

$$Q = \frac{A^2 - 3B}{9}$$
;  $R = \frac{2A^3 - 9AB + 27C}{54}$ ;  $S = Q^3 - R^2$ ;  $\Phi = \frac{1}{3}\arccos\left(\frac{R}{\sqrt{Q^3}}\right)$ .

Если S > 0, тогда

$$x_1 = -2\sqrt{Q}\cos(\Phi) - \frac{A}{3} \quad x_2 = -2\sqrt{Q}\cos\left(\Phi + \frac{2}{3}\pi\right) - \frac{A}{3},$$

$$x_3 = -2\sqrt{Q}\cos\left(\Phi - \frac{2}{3}\pi\right) - \frac{A}{3}.$$
(10)

И первая сумма в (9) преобразуется к виду

$$\frac{1}{2} \sum_{n=1}^{\infty} \frac{\omega_2^2 \omega_3^2 (\omega_2^2 + v_n^2) (\omega_3^2 + v_n^2)}{v_n^2 \omega_2^2 \omega_3^2 (v_n^2 - x_1) (v_n^2 - x_2) (v_n^2 - x_3)}.$$
 (11)

Последнее выражение (11) разобъем на простые дроби:

$$\frac{\beta_0}{x} + \frac{\gamma}{x - x_1} + \frac{\varphi}{x - x_2} + \frac{\Delta}{x - x_3} = \frac{x^2 + x(\omega_2^2 + \omega_3^2) + \omega_2^2 \omega_3^2}{x(x - x_1)(x - x_2)(x - x_3)},$$

где

$$\beta_0 = -\frac{\omega_2^2 \omega_3^2}{x_1 x_2 x_3};$$

$$\Delta = \frac{x_3^2}{(x_3 - x_2)(x_1 - x_3)} \left\{ \frac{\omega_2^2 \omega_3^2}{x_1 x_2 x_3} \left( \frac{x_1 x_2 + x_1 x_3 + x_2 x_3}{x_2 x_3} - 1 \right) + \frac{\omega_2^2 + \omega_3^2}{x_2 x_3} - \frac{1}{x_3} \left( 1 + \frac{\omega_2^2 \omega_3^2}{x_1 x_2 x_3} \left[ \frac{x_1 x_2 + x_1 x_3 + x_2 x_3}{x_2 x_3} + (x_2 + x_3 - x_1) \right] \right) + \frac{(\omega_2^2 + \omega_3^2)(x_2 + x_3)}{x_2 x_3} \right\};$$

$$\varphi = \frac{x_2}{x_3(x_2 - x_1)} \left\{ \Delta \frac{x_2}{x_3} (x_1 - x_3) - 1 - \frac{\omega_2^2 \omega_3^2}{x_1 x_2 x_3} (x_2 + x_3 - x_1) - \frac{x_2 + x_3}{x_2 x_3} \left[ \omega_2^2 + \omega_3^2 + \frac{\omega_2^2 \omega_3^2}{x_1 x_2 x_3} (x_1 x_2 + x_1 x_3 + x_2 x_3) \right] \right\};$$

$$\gamma = \frac{1}{x_2 x_3} \left\{ \omega_2^2 + \omega_3^2 - \Delta x_1 x_2 - \phi x_1 x_3 - \beta_0 (x_2 x_3 + x_1 (x_2 + x_3)) \right\}, \quad \nu_n = \frac{2\pi n}{\beta}. \quad (12)$$

В итоге первая сумма в (9) преобразуется к виду

$$*_{1} = \frac{1}{2} \sum_{n=1}^{\infty} \left( \frac{\beta_{0}}{v_{n}^{2}} + \frac{\gamma}{v_{n}^{2} - x_{1}} + \frac{\phi}{v_{n}^{2} - x_{2}} + \frac{\Delta}{v_{n}^{2} - x_{3}} \right);$$

$$\sum_{n=1}^{\infty} \frac{\beta_{0}}{v_{n}^{2}} = \beta_{0} \sum_{n=1}^{\infty} \frac{\beta^{2}}{4\pi^{2}n^{2}} = \beta_{0} \frac{\beta^{2}}{4\pi^{2}} \sum_{n=1}^{\infty} \frac{1}{n^{2}} = \beta_{0} \frac{\beta^{2}}{24};$$

$$x_{1} = -2\sqrt{Q}\cos\phi - \frac{A}{3} = -x_{10} = -\left(2\sqrt{Q}\cos\phi + \frac{A}{3}\right).$$

Если  $x_1 < 0$ , то

$$\begin{split} \sum_{n=1}^{\infty} \frac{\gamma}{v_n^2 + x_{10}} &= \sum_{n=1}^{\infty} \frac{\gamma}{4\pi^2 n^2} = \\ &= \frac{\gamma \beta^2}{4\pi^2} \sum_{n=1}^{\infty} \frac{1}{n^2 + \frac{x_{10}\beta^2}{4\pi^2}} = \frac{\gamma \beta^2}{4\pi^2} \left[ -\frac{4\pi^2}{2x_1\beta^2} - \frac{\pi^2}{\sqrt{x_1}\beta} \text{ctg} \left( \frac{\sqrt{x_1}\beta}{2\pi} \right) \right]; \\ \tilde{x}_{10}^2 &= \frac{x_{10}\beta^2}{4\pi^2}, \ x_2 &= -2\sqrt{Q} \text{cos} \left( \Phi + \frac{2}{3}\pi \right) - \frac{A}{3} = -x_{20}, \ \tilde{x}_{20}^2 &= \frac{x_{20}\beta^2}{4\pi^2}, \\ x_3 &= -2\sqrt{Q} \text{cos} \left( \Phi - \frac{2}{3}\pi \right) - \frac{A}{3} = -x_{30}, \ \tilde{x}_{30}^2 &= \frac{x_{30}\beta^2}{4\pi^2}. \end{split}$$

Если  $x_1 > 0, x_2 > 0, x_3 > 0$ , то

$$*_{1} = \frac{1}{2} \left\{ \beta_{0} \frac{\beta^{2}}{24} + \frac{\gamma \beta^{2}}{4\pi^{2}} \left[ -\frac{4\pi^{2}}{2x_{1}\beta^{2}} - \frac{\pi^{2}}{\sqrt{x_{1}\beta}} \operatorname{ctg} \left( \frac{\sqrt{x_{1}\beta}}{2} \right) \right] + \frac{\phi \beta^{2}}{4\pi^{2}} \left[ -\frac{4\pi^{2}}{2x_{2}\beta^{2}} - \frac{\pi^{2}}{\sqrt{x_{2}\beta}} \operatorname{ctg} \left( \frac{\sqrt{x_{2}\beta}}{2} \right) \right] + \frac{\Delta \beta^{2}}{4\pi^{2}} \left[ -\frac{4\pi^{2}}{2x_{3}\beta^{2}} - \frac{\pi^{2}}{\sqrt{x_{3}\beta}} \operatorname{ctg} \left( \frac{\sqrt{x_{3}\beta}}{2} \right) \right] \right\}. (13)$$

Перейдем к вычислению второй суммы в (9):

$$2 = \frac{1}{2} \sum_{n=1}^{\infty} \left( \frac{\beta_0 \cos 2\nu_n T_0}{\nu_n^2} + \frac{\gamma \cos 2\nu_n T_0}{\nu_n^2 - x_1} + \frac{\phi \cos 2\nu_n T_0}{\nu_n^2 - x_2} + \frac{\Delta \cos 2\nu_n T_0}{\nu_n^2 - x_3} \right)$$

$$\frac{1}{2} \sum_{n=1}^{\infty} \frac{\beta_0 \cos^2 \frac{2\pi T_0 n}{\beta}}{\frac{4\pi^2 n^2}{\beta^2}} = \frac{1}{2} \left[ \frac{\beta^2 \beta_0}{4\pi^2} \sum_{n=1}^{\infty} \frac{\cos^2 \frac{2\pi T_0}{\beta} n}{n^2} \right] = \frac{1}{2} \left[ \frac{\beta^2 \beta_0}{4\pi^2} \frac{1}{12} \times \left[ \frac{\beta^2 \beta_0}{\beta^2} + 2\pi^2 \right] \right] + \frac{1}{2} \gamma \sum_{n=1}^{\infty} \frac{\cos \frac{4\pi T_0 n}{\beta}}{\frac{4\pi^2 n^2}{\beta^2} - x_1} = \frac{1}{2} \left[ \frac{\beta^2 \gamma}{4\pi^2} \sum_{n=1}^{\infty} \frac{\cos \frac{4\pi T_0 n}{\beta} n}{n^2 - \frac{x_1 \beta^2}{4\pi^2}} \right] = \frac{1}{2} \left[ \frac{\beta^2 \gamma}{4\pi^2} \sum_{n=1}^{\infty} \frac{\cos \frac{4\pi T_0 n}{\beta} n}{n^2 - \frac{x_1 \beta^2}{4\pi^2}} \right] = \frac{1}{2} \left[ \frac{\beta^2 \gamma}{4\pi^2} \sum_{n=1}^{\infty} \frac{\cos \frac{4\pi T_0 n}{\beta} n}{n^2 - \frac{x_1 \beta^2}{4\pi^2}} \right] = \frac{1}{2} \left[ \frac{\beta^2 \gamma}{4\pi^2} \sum_{n=1}^{\infty} \frac{\cos \frac{4\pi T_0 n}{\beta} n}{n^2 - \frac{x_1 \beta^2}{4\pi^2}} \right] = \frac{1}{2} \left[ \frac{\beta^2 \gamma}{4\pi^2} \sum_{n=1}^{\infty} \frac{\cos \frac{4\pi T_0 n}{\beta} n}{n^2 - \frac{x_1 \beta^2}{4\pi^2}} \right] = \frac{1}{2} \left[ \frac{\beta^2 \gamma}{4\pi^2} \sum_{n=1}^{\infty} \frac{\cos \frac{4\pi T_0 n}{\beta} n}{n^2 - \frac{x_1 \beta^2}{4\pi^2}} \right] = \frac{1}{2} \left[ \frac{\beta^2 \gamma}{4\pi^2} \sum_{n=1}^{\infty} \frac{\cos \frac{4\pi T_0 n}{\beta} n}{n^2 - \frac{x_1 \beta^2}{4\pi^2}} \right] = \frac{1}{2} \left[ \frac{\beta^2 \gamma}{4\pi^2} \sum_{n=1}^{\infty} \frac{\cos \frac{4\pi T_0 n}{\beta} n}{n^2 - \frac{x_1 \beta^2}{4\pi^2}} \right] = \frac{1}{2} \left[ \frac{\beta^2 \gamma}{4\pi^2} \sum_{n=1}^{\infty} \frac{\cos \frac{4\pi T_0 n}{\beta} n}{n^2 - \frac{x_1 \beta^2}{4\pi^2}} \right] = \frac{1}{2} \left[ \frac{\beta^2 \gamma}{4\pi^2} \sum_{n=1}^{\infty} \frac{\cos \frac{4\pi T_0 n}{\beta} n}{n^2 - \frac{x_1 \beta^2}{4\pi^2}} \right] = \frac{1}{2} \left[ \frac{\beta^2 \gamma}{4\pi^2} \sum_{n=1}^{\infty} \frac{\cos \frac{4\pi T_0 n}{\beta} n}{n^2 - \frac{x_1 \beta^2}{4\pi^2}} \right] = \frac{1}{2} \left[ \frac{\beta^2 \gamma}{4\pi^2} \sum_{n=1}^{\infty} \frac{\cos \frac{4\pi T_0 n}{\beta} n}{n^2 - \frac{x_1 \beta^2}{4\pi^2}} \right] = \frac{1}{2} \left[ \frac{\beta^2 \gamma}{4\pi^2} \sum_{n=1}^{\infty} \frac{\cos \frac{4\pi T_0 n}{\beta} n}{n^2 - \frac{x_1 \beta^2}{4\pi^2}} \right] = \frac{1}{2} \left[ \frac{\beta^2 \gamma}{4\pi^2} \sum_{n=1}^{\infty} \frac{\cos \frac{4\pi T_0 n}{\beta} n}{n^2 - \frac{x_1 \beta^2}{4\pi^2}} \right] = \frac{1}{2} \left[ \frac{\beta^2 \gamma}{4\pi^2} \sum_{n=1}^{\infty} \frac{\cos \frac{4\pi T_0 n}{\beta} n}{n^2 - \frac{x_1 \beta^2}{4\pi^2}} \right] = \frac{1}{2} \left[ \frac{\beta^2 \gamma}{4\pi^2} \sum_{n=1}^{\infty} \frac{\cos \frac{4\pi T_0 n}{\beta} n}{n^2 - \frac{x_1 \beta^2}{4\pi^2}} \right] = \frac{1}{2} \left[ \frac{\beta^2 \gamma}{4\pi^2} \sum_{n=1}^{\infty} \frac{\cos \frac{4\pi T_0 n}{\beta} n}{n^2 - \frac{x_1 \beta^2}{4\pi^2}} \right] = \frac{1}{2} \left[ \frac{\beta^2 \gamma}{4\pi^2} \sum_{n=1}^{\infty} \frac{\sin \frac{4\pi T_0 n}{\beta} n}{n^2 - \frac{x_1 \beta^2}{4\pi^2}} \right] = \frac{1}{2} \left[ \frac{$$

$$=\frac{1}{2}\left[\frac{\beta^2\gamma}{4\pi^2}\left\{\frac{\pi^2}{\sqrt{x_1}\beta}\cos\left[\left(\pi-\frac{4\pi T_0}{\beta}\right)\frac{\sqrt{x_1}\beta}{2\pi}\right]\csc\frac{\sqrt{x_1}\beta}{2}+\frac{2\pi^2}{x_1\beta^2}\right\}\right].$$

При  $x_1, x_2, x_3 > 0$  вторая сумма в (9) дает

$$\frac{1}{2} \left\{ \frac{\beta_0 \beta^2}{48} \left( 3 \frac{(4\pi T_0)^2}{\beta} - \frac{24\pi^2 T_0}{\beta} + 2\pi^2 \right) + \frac{\gamma \beta^2}{4\pi^2} \left\{ \frac{\pi^2}{\sqrt{x_1 \beta}} \cos \left[ \left( \pi - \frac{4\pi T_0}{\beta} \right) \frac{\sqrt{x_1 \beta}}{2\pi} \right] \csc \frac{\sqrt{x_1 \beta}}{2} \right\} + \frac{\phi \beta^2}{4\pi^2} \left\{ \frac{\pi^2}{\sqrt{x_2 \beta}} \cos \left[ \left( \pi - \frac{4\pi T_0}{\beta} \right) \frac{\sqrt{x_2 \beta}}{2\pi} \right] \csc \frac{\sqrt{x_2 \beta}}{2} - \frac{2\pi^2}{x_2 \beta^2} \right\} + \frac{\Delta \beta^2}{4\pi^2} \left\{ \frac{\pi^2}{\sqrt{x_3 \beta}} \cos \left[ \left( \pi - \frac{4\pi T_0}{\beta} \right) \frac{\sqrt{x_3 \beta}}{2\pi} \right] \csc \frac{\sqrt{x_3 \beta}}{2} - \frac{2\pi^2}{x_3 \beta^2} \right\} \right\}. \tag{14}$$

Квазиклассическое действие с учетом двух промотирующих мод сводится к выражению вида

$$S_{10} = 2\omega_0^2(a+b)a\tau_0 - \frac{2}{\beta}\omega_0^2(a+b)^2\tau_0^2 - \frac{4}{\beta}\omega_0^4(a+b)^2\{*_1 + *_2\}\;,$$

где

$$\tau_0 = \frac{1}{2\omega_0} \operatorname{Arcsh} \left[ \frac{b-a}{b+a} \operatorname{sh} \frac{\omega_0 \beta}{4} \right] + \frac{\beta}{4} = \frac{1}{2\omega_0} \operatorname{Arcsh} \left[ \frac{\frac{b}{a}-1}{\frac{b}{a}+1} \operatorname{sh} \frac{\omega_0 \beta}{4} \right] + \frac{\beta}{4},$$

или

$$\tau_0^* = \tau_0 \omega_0 = \frac{1}{2} \operatorname{Arcsh} \left[ \frac{b^* - 1}{b^* + 1} \operatorname{sh} \beta^* \right] + \beta^*; \ \tau_0^* = \tau \omega_0; \ \beta^* = \frac{\omega_0 \beta}{4}.$$

Окончательно перенормированное выражение для 1D-квазиклассического инстантонного действия с учетом двух локальных мод среды — термостата принимает вид

$$\begin{split} \tilde{S}_{10} &= \frac{S_{10}}{\omega_0 a^2} = 2(b^* + 1)\tau_0^* - \frac{1}{2\beta^*}(b^* + 1)^2\tau_0^{*2} - \frac{(b^* + 1)^2}{\beta^*} \left\{ \frac{1}{2} \left[ \beta_0 \omega_0^2 \left( \frac{\beta \omega_0}{4} \right)^2 \frac{2}{3} + \right. \right. \\ &+ 4 \frac{\gamma \omega_0^2 \left( \frac{\beta \omega_0}{4} \right)^2}{\pi^2} \left[ -\frac{4\pi^2}{2x_1 \beta^2} - \frac{\pi^2}{\sqrt{x_1 \beta}} \operatorname{ctg} \frac{\sqrt{x_1 \beta}}{2\pi} \right] + 4 \frac{\phi \omega_0^2 \beta^{*2}}{\pi^2} \left[ -\frac{4\pi^2}{2x_2 \beta^2} - \frac{\pi^2}{\sqrt{x_2 \beta}} \operatorname{ctg} \frac{\sqrt{x_2 \beta}}{2\pi} \right] + \\ &+ 4 \frac{\Delta \omega_0^2 \beta^{*2}}{\pi^2} \left[ -\frac{4\pi^2}{2x_3 \beta^2} - \frac{\pi^2}{\sqrt{x_3 \beta}} \operatorname{ctg} \frac{\sqrt{x_3 \beta}}{2\pi} \right] \right] - \\ &- \frac{1}{2} \left[ \beta_0 \omega_0^2 \left( \frac{\beta \omega_0}{4} \right)^2 \frac{1}{3} \left( 3 \left( \frac{4\pi \tau_0 \omega_0}{\beta \omega_0} \right)^2 - \frac{6\pi^2 \tau_0 \omega_0 4}{\beta \omega_0} + 2\pi^2 \right) + \frac{4\gamma \omega_0^2 \left( \frac{\beta \omega_0}{4} \right)^2}{\pi^2} \times \right. \\ &\times \left\{ \frac{\omega_0 \pi^2 4}{4\sqrt{x_1 \beta} \omega_0} \cos \left[ \left( \pi - \frac{4\pi \tau_0 \omega_0}{\beta \omega_0} \right) \frac{\sqrt{x_1 2 \beta \omega_0}}{\omega_0 \pi^4} \right] \operatorname{cosec} \frac{2\sqrt{x_1}}{\omega_0} \frac{\beta_0 \omega_0}{4} + \frac{\omega_0^2 \pi^2 4}{8x_1 \beta \omega_0} \right\} + \\ &+ \frac{4\phi \omega_0^2 \beta^{*2}}{\pi^2} \left\{ \frac{\omega_0 \pi^2 4}{4\sqrt{x_2 \beta^*}} \cos \left[ \left( \pi - \frac{4\pi \tau_0^* \omega_0}{\beta^*} \right) \frac{\sqrt{x_2 2 \beta^*}}{\omega_0 \pi} \right] \operatorname{cosec} \frac{2\sqrt{x_2}}{\omega_0} \beta^* + \frac{\omega_0^2 \pi^2}{8x_2 \beta^{*2}} \right\} + \\ &+ \frac{4\Delta \omega_0^2 \beta^{*2}}{\pi^2} \left\{ \frac{\omega_0 \pi^2 4}{4\sqrt{x_3 \beta^*}} \cos \left[ \left( \pi - \frac{4\pi \tau_0^* \omega_0}{\beta^*} \right) \frac{\sqrt{x_3 2 \beta^*}}{\omega_0 \pi} \right] \operatorname{cosec} \frac{2\sqrt{x_3}}{\omega_0} \beta^* + \frac{\omega_0^2 \pi^2}{8x_3 \beta^{*2}} \right\} \right]. (15) \end{split}$$

Перейдем к вычислению предэкспоненциального фактора с учетом двух промотирующих фононных мод:

$$B = \frac{2\omega_0^2 (a+b)^2}{(2\pi\beta)^{\frac{1}{2}}} \frac{\sum_{n=-\infty}^{\infty} \frac{\sin^2 \nu_n \tau_0}{\lambda_{0n}}}{\left[\sum_{n=-\infty}^{\infty} \frac{\cos 2\nu_n \tau_0}{\lambda_{0n}}\right]^{\frac{1}{2}}},$$
(16)

где  $\lambda_{0n} = v_n^2 + \omega_0^2 + \zeta_n$ 

$$\sum_{n=-\infty}^{\infty} \frac{\sin^{2} v_{n} \tau_{0} = \frac{1}{2} (1 - \cos 2v_{n} \tau_{0})}{v_{n}^{2} + \omega_{0}^{2} + \frac{v_{n}^{2} C_{2}^{2}}{\omega_{2}^{2} (\omega_{2}^{2} + v_{n}^{2})} + \frac{v_{n}^{2} C_{3}^{2}}{\omega_{3}^{2} (\omega_{3}^{2} + v_{n}^{2})} =$$

$$= \frac{1}{2} \sum_{n=-\infty}^{\infty} \frac{(1 - \cos 2v_{n} \tau_{0}) \omega_{2}^{2} \omega_{3}^{2} (\omega_{2}^{2} + v_{n}^{2}) (\omega_{3}^{2} + v_{n}^{2})}{(\omega_{0}^{2} + v_{n}^{2}) \omega_{2}^{2} \omega_{3}^{2} (\omega_{2}^{2} + v_{n}^{2}) (\omega_{3}^{2} + v_{n}^{2}) + v_{n}^{2} C_{2}^{2} \omega_{3}^{2} (\omega_{3}^{2} + v_{n}^{2}) + v_{n}^{2} C_{3}^{2} \omega_{3}^{2} (\omega_{2}^{2} + v_{n}^{2})} =$$

$$= \frac{1}{2} \sum_{n=-\infty}^{\infty} \frac{(1 - \cos 2v_{n} \tau_{0}) (\omega_{2}^{2} + v_{n}^{2}) (\omega_{3}^{2} + v_{n}^{2})}{x^{3} + Ax^{2} + Bx + C}, \tag{17}$$

В соотношениях (16), (17) введены следующие обозначения:

$$x = v_n^2; \ A = \omega_2^2 + \omega_3^2 + \omega_0^2 + \frac{C_2^2}{\omega_2^2} + \frac{C_3^2}{\omega_3^2};$$
$$B = \omega_2^2 \omega_3^2 + \omega_0^2 (\omega_2^2 + \omega_3^2) + \frac{C_2^2 \omega_3^2}{\omega_2^2} + \frac{C_3^2 \omega_2^2}{\omega_3^2}; \ C = \omega_0^2 \omega_2^2 \omega_3^2.$$

Обозначим также

$$Q = \frac{A^2 - 3B}{9}$$
;  $R = \frac{2A^3 - 9AB + 27C}{54}$ ;  $S = Q^3 - R^2$ ;  $\Phi = \frac{1}{3}\arccos\left(\frac{R}{\sqrt{Q^3}}\right)$ .

При S > 0

$$x_1 = -2\sqrt{Q}\cos(\Phi) - \frac{A}{3}, \quad x_2 = -2\sqrt{Q}\cos\left(\Phi + \frac{2}{3}\pi\right) - \frac{A}{3},$$
$$x_3 = -2\sqrt{Q}\cos\left(\Phi - \frac{2}{3}\pi\right) - \frac{A}{3}.$$

Разложим знаменатель соотношения (17)

$$\begin{split} &=\frac{1}{2}\sum_{n=-\infty}^{\infty}\frac{(\omega_{2}^{2}+v_{n}^{2})(\omega_{3}^{2}+v_{n}^{2})}{(v_{n}^{2}-x_{1})(v_{n}^{2}-x_{2})(v_{n}^{2}-x_{3})} = \frac{D}{v_{n}^{2}-x_{1}} + \frac{E}{v_{n}^{2}-x_{2}} + \frac{F}{v_{n}^{2}-x_{3}};\\ &F = \left\{ (\omega_{2}^{2}+\omega_{3}^{2}+x_{2}+x_{3})\big[x_{2}x_{3}(x_{1}+x_{3})-x_{1}x_{3}(x_{2}+x_{3})\big] + \right.\\ &\left. + (x_{2}-x_{1})\Big[(x_{2}+x_{3})\omega_{2}^{2}\omega_{3}^{2}+x_{2}x_{3}(\omega_{2}^{2}+\omega_{3}^{2})\big]\right\} \times\\ &\left. \times \left\{ (x_{2}-x_{1})\big[x_{1}x_{2}(x_{2}+x_{3})-x_{2}x_{3}(x_{1}+x_{2})\big] - \right.\\ &\left. - (x_{1}-x_{3})\big[x_{2}x_{3}(x_{1}+x_{3})-x_{1}x_{3}(x_{2}+x_{3})\big]\right\}^{-1}; \end{split}$$

$$E = \frac{\omega_2^2 + \omega_3^2 + x_2 + x_3 + F(x_1 - x_3)}{x_2 - x_1};$$

$$D = -\frac{\omega_2^2 + \omega_3^2 + E(x_1 + x_3) + F(x_1 + x_2)}{x_2 + x_3};$$

$$\frac{1}{2} \sum_{n = -\infty}^{\infty} \frac{D}{v_n^2 - x_1} = \frac{D}{2} \sum_{n = -\infty}^{\infty} \frac{1}{\frac{4\pi^2 n^2}{\beta^2} - x_1} =$$

$$= \frac{1}{2} \frac{D\beta^2}{4\pi^2} \sum_{n = -\infty}^{\infty} \frac{1}{n^2 - \frac{x_1 \beta^2}{4\pi^2}} = \frac{1}{2} \frac{D\beta^2}{4\pi^2} \left[ -\frac{4\pi^2}{x_1 \beta^2} + 2 \sum_{n = -\infty}^{\infty} \frac{1}{n^2 - \frac{x_1 \beta^2}{4\pi^2}} \right].$$
При  $x_1 > 0$ : 
$$\frac{1}{2} \sum_{n = -\infty}^{\infty} \frac{D}{v_n^2 - x_1} = \frac{1}{2} \frac{D\beta^2}{4\pi^2} \left[ -\frac{4\pi^2}{x_1 \beta^2} + 2 \left\{ -\frac{2\pi^2}{x_1 \beta^2} - \frac{\pi^2}{\sqrt{x_1 \beta}} \text{ctg} \frac{\sqrt{x_1 \beta}}{2} \right\} \right].$$

Сумма, содержащая  $\cos 2v_n \tau_0$ , дает в этом случае

$$-\frac{1}{2}\frac{D\beta^{2}}{4\pi^{2}}\left[-\frac{4\pi^{2}}{x_{1}\beta^{2}}+2\left\{-\frac{\pi^{2}}{\sqrt{x_{1}}\beta}\cos\left[\left(\pi-\frac{4\pi\tau_{0}}{\beta}\right)\frac{\sqrt{x_{1}}\beta}{2\pi}\right]\csc\frac{\sqrt{x_{1}}\beta}{2}+\frac{2\pi^{2}}{x_{1}\beta^{2}}\right\}\right]. (18)$$

В итоге обезразмеренный предэкспоненциальный фактор определяется суммами двух типов:

$$\begin{split} \tilde{B} &= \frac{B}{a^2 \omega^{\frac{3}{2}}} = \frac{2\omega_0^2 (\frac{b}{a} + 1)^2}{(2\pi\beta)^{\frac{1}{2}}} \frac{\Sigma_1}{(\Sigma_2)^{\frac{1}{2}}}; \\ \Sigma_1 &= \sum_{n = -\infty}^{\infty} \frac{\sin^2 v_n \tau_0}{\lambda_{0n}} = \frac{1}{2} \frac{D\beta^2}{4\pi^2} \left[ -\frac{4\pi^2}{x_1 \beta^2} + 2 \left\{ -\frac{2\pi^2}{x_{10} \beta^2} - \frac{\pi^2}{\sqrt{x_1 \beta}} \operatorname{ctg} \frac{\sqrt{x_1 \beta}}{2} \right\} \right] + \\ &\qquad \frac{1}{2} \frac{E\beta^2}{4\pi^2} \left[ -\frac{4\pi^2}{x_2 \beta^2} + 2 \left\{ -\frac{2\pi^2}{x_{20} \beta^2} - \frac{\pi^2}{\sqrt{x_2 \beta}} \operatorname{ctg} \frac{\sqrt{x_2 \beta}}{2} \right\} \right] + \\ &\qquad + \frac{1}{2} \frac{F\beta^2}{4\pi^2} \left[ -\frac{4\pi^2}{x_3 \beta^2} + 2 \left\{ -\frac{2\pi^2}{x_{30} \beta^2} - \frac{\pi^2}{\sqrt{x_3 \beta}} \operatorname{ctg} \frac{\sqrt{x_3 \beta}}{2} \right\} \right] - \\ &\qquad - \frac{1}{2} \frac{D\beta^2}{4\pi^2} \left[ -\frac{4\pi^2}{x_1 \beta^2} + 2 \left\{ -\frac{\pi^2}{\sqrt{x_1 \beta}} \operatorname{cos} \left[ \left( \pi - \frac{4\pi \tau_0}{\beta} \right) \frac{\sqrt{x_1 \beta}}{2\pi} \right] \operatorname{cosec} \frac{\sqrt{x_1 \beta}}{2} + \frac{2\pi^2}{x_1 \beta^2} \right\} \right] - \end{split}$$

$$-\frac{1}{2} \frac{E\beta^{2}}{4\pi^{2}} \left[ -\frac{4\pi^{2}}{x_{2}\beta^{2}} + 2\left\{ -\frac{\pi^{2}}{\sqrt{x_{2}\beta}} \cos\left[\left(\pi - \frac{4\pi\tau_{0}}{\beta}\right) \frac{\sqrt{x_{2}\beta}}{2\pi}\right] \csc\left(\frac{\sqrt{x_{2}\beta}}{2} + \frac{2\pi^{2}}{x_{2}\beta^{2}}\right) \right] - \frac{1}{2} \frac{F\beta^{2}}{4\pi^{2}} \left[ -\frac{4\pi^{2}}{x_{3}\beta^{2}} + 2\left\{ -\frac{\pi^{2}}{\sqrt{x_{3}\beta}} \cos\left[\left(\pi - \frac{4\pi\tau_{0}}{\beta}\right) \frac{\sqrt{x_{3}\beta}}{2\pi}\right] \csc\left(\frac{\sqrt{x_{3}\beta}}{2} + \frac{2\pi^{2}}{x_{3}\beta^{2}}\right) \right];$$

$$\Sigma_{2} = \sum_{n=-\infty}^{\infty} \frac{\cos 2\nu_{n}\tau_{0}}{\lambda_{0n}} = \frac{D\beta^{2}}{4\pi^{2}} \left[ -\frac{4\pi^{2}}{x_{1}\beta^{2}} + 2\left\{ -\frac{\pi^{2}}{\sqrt{x_{1}\beta}} \cos\left[\left(\pi - \frac{4\pi\tau_{0}}{\beta}\right) \frac{\sqrt{x_{1}\beta}}{2\pi}\right] \csc\left(\frac{\sqrt{x_{1}\beta}}{2} + \frac{2\pi^{2}}{x_{1}\beta^{2}}\right) \right] + \frac{E\beta^{2}}{4\pi^{2}} \left[ -\frac{4\pi^{2}}{x_{2}\beta^{2}} + 2\left\{ -\frac{\pi^{2}}{\sqrt{x_{2}\beta}} \cos\left[\left(\pi - \frac{4\pi\tau_{0}}{\beta}\right) \frac{\sqrt{x_{2}\beta}}{2\pi}\right] \csc\left(\frac{\sqrt{x_{2}\beta}}{2} + \frac{2\pi^{2}}{x_{2}\beta^{2}}\right) \right] + \frac{F\beta^{2}}{4\pi^{2}} \left[ -\frac{4\pi^{2}}{x_{3}\beta^{2}} + 2\left\{ -\frac{\pi^{2}}{\sqrt{x_{3}\beta}} \cos\left[\left(\pi - \frac{4\pi\tau_{0}}{\beta}\right) \frac{\sqrt{x_{3}\beta}}{2\pi}\right] \csc\left(\frac{\sqrt{x_{3}\beta}}{2} + \frac{2\pi^{2}}{x_{3}\beta^{2}}\right) \right].$$
(19)

В результате аналитически найдено выражение для вероятности 1D-туннельного переноса с учетом влияния двух промотирующих фононных мод среды — термостата:

$$\Gamma = B \exp(-S) \,. \tag{20}$$

Условие (7), ограничивающее применимость рассматриваемого приближения, для исследования туннелирования в полупроводниковых квантовых точках дает следующие оценки. Применимость квазиклассического инстантонного приближения при исследовании температурной зависимости вероятности туннелирования Г для КТ на основе InSb может быть оценена в квазиклассическом приближении из сравнения характерного размера системы с длиной волны де Бройля туннелирующей частицы, или, в рамках приближения разреженного газа пар «инстантон – антиинстантон»:

$$\begin{cases} R >> \frac{\hbar}{(2 - \sqrt{3})\sqrt{2m^*U_0}}, \\ R >> \frac{\hbar}{\sqrt{8m^*k_BT}}, \end{cases}$$

где  $U_0$  — высота барьера;  $\emph{m}^*$  — эффективная масса туннелирующего электрона.

В первом неравенстве сравнивается радиус КТ R с длиной волны де Бройля туннелирующей частицы; вторая формула демонстрирует применимость приближения разреженного газа пар «инстантон — антиинстантон». Оба неравенства выполняются одновременно при  $T \ge 50 \, K$  и  $U_0 \approx 0,2$  эВ,

что может соответствовать КТ на основе InSb. Как показали Ал. Л. Эфрос и А. Л. Эфрос (1982), может происходить подавление кулоновских эффектов, если стартовая энергия частицы в КТ существенно превышает энергию кулоновского отталкивания:  $U_0 >> e^2 / (q_0 + q_1)$ . Дополняя это условие ограниче-

нием по величине напряженности электрического поля  $E << \frac{U_0}{|e|(q_0+q_1)}$  для

КТ из InSb, можем получить следующее значение напряженности:  $E << 3 \cdot 10^6 \, \mathrm{B/m}$  .

Далее полученные аналитические результаты будут использованы для проведения численных оценок и качественного сравнения с существующими экспериментами.

# Сравнение с экспериментом

Проведенный аналитический расчет позволяет также учесть роль влияния локальных моды среды – термостата на зависимость  $\Gamma = B \exp(-S)$ .

Дополнительный эксперимент по визуализации локальной плотности состояний в квантовых точках InAs/GaAs методом комбинированной ACM/ CTM был выполнен в Казанском физико-техническом институте КНЦ РАН при участии ННГУ им. Н. И. Лобачевского. Схема эксперимента представлена на рис. 1.

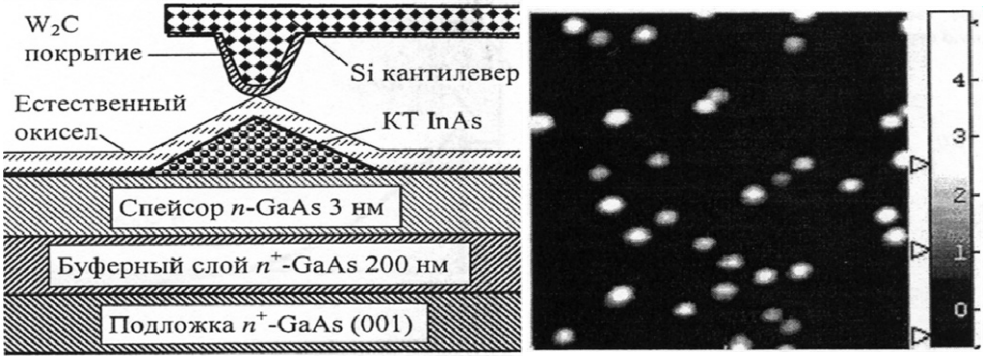


Схема измерения токового изображения поверхностных КТ InAs/GaAs

ACM изображение поверхности КТ InAs/GaAs. Размер кадра 750×750 нм<sup>2</sup>, диапазон высот 5,9 нм

Рис. 1. Схема измерения токового изображения поверхностных KT InAS/GaAs

Качественное сравнение модельной кривой вероятности 1D-диссипативного туннелирования (20) (с учетом влияния двух локальных фононных мод среды — термостата) и экспериментальной ВАХ для полупроводниковых КТ из InAS/GaAs представлено на рис. 2. При этом характерный неэквидистантный спектр пиков на экспериментальных ВАХ и их соответствующие пики на теоретической зависимости вероятности 1D-диссипативного туннелирования с учетом влияния двух локальных (промотирующих) фононных мод среды — термостата от напряженности приложенного электрического поля качественно совпали гораздо лучше, чем это наблюдалось в модели, учитывающей влияние только одной локальной фононной моды.

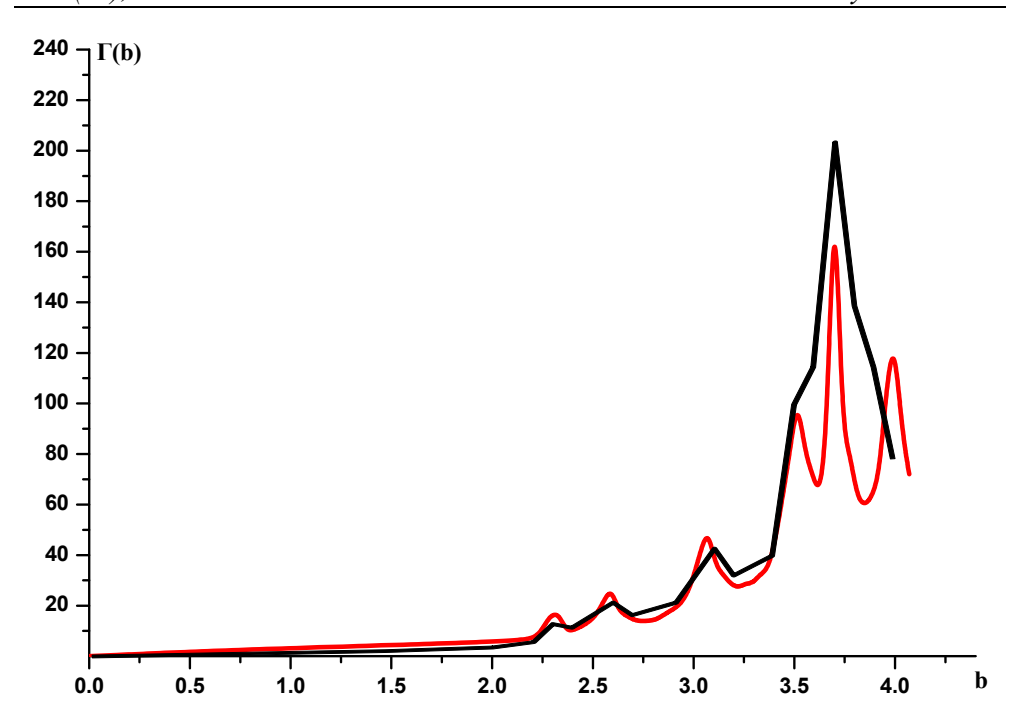


Рис. 2. Сравнение теоретических кривых (светлая линия) в модели для  $\Gamma = B \exp(-S)$  с учетом влияния двух локальных мод среды — термостата с экспериментальными кривыми (темная линия)

#### Заключение

Таким образом, проведенный анализ продемонстрировал качественное соответствие расчетных кривых для вероятности туннелирования с некоторыми экспериментальными ВАХ в схемах исследования управляемых характеристик проводимости отдельных полупроводниковых квантовых точек в системах с совмещенными СТМ/АСМ.

## Список литературы

- 1. **Тавгер, Б. А.** Квантовые размерные эффекты в полупроводниковых и полуметаллических пленках / Б. А. Тавгер, В. Я. Демиховский // Успехи физических наук. 1968. Т. 96, № 1. С. 61–86.
- 2. **Имри, Й.** Введение в мезоскопическую физику / Й. Имри. М. : Физматлит, 2002. 304 с.
- 3. Caldeira, A. O. Influence of dissipation on quantum tunneling in macroscopic systems / A. O. Caldeira, A. J. Leggett // Phys. Rev. Lett. 1981. V. 46, № 4. P. 211–214.
- 4. **Ларкин, А. И.** Квантовое туннелирование с диссипацией / А. И. Ларкин, Ю. Н. Овчинников // Письма в ЖЭТФ. 1983. Т. 37, № 7. С. 322–325.
- 5. **Ларкин, А. И.** Влияние квантования уровней на время жизни метастабильных состояний / А. И. Ларкин, Ю. Н. Овчинников // Журнал экспериментальной и теоретической физики. 1986. Т. 91, № 1 (7). С. 318—325.
- 6. **Гантмахер**, **В. Ф.** Встречи в мезоскопической области (Мезоскопические и сильнокоррелированные электронные системы «Черноголовка–97» / В. Ф. Гантмахер, М. В. Фейгельман // Успехи физических наук. 1998. Т. 168, № 2. С. 113–116.

- 7. **Тернов, И. М.** Квантовая механика и макроскопические эффекты / И. М. Тернов, В. Ч. Жуковский, А. В. Борисов. М.: Изд-во МГУ, 1993. 198 с.
- 8. Введение в современную мезоскопику / А. К. Арынгазин, В. Ч. Жуковский, В. Д. Кревчик и др. Пенза : Изд-во ПГУ, 2003. 570 с.
- 9. Transfer processes in low-dimensional systems : сб. ст. / под ред. А. К. Арынгазина, В. Д. Кревчика, В. Я. Кривнова, М. Б. Семенова, К. Yamamoto. UT Research Institute Press, Tokyo, Japan, 2005. 690 р.
- 10. Управляемое диссипативное туннелирование. Туннельный транспорт в низкоразмерных системах / под ред. Э. Леггета, А. К. Арынгазина, М. Б. Семенова и др.). М.: Физматлит, 2011. 498 с.

# Кревчик Владимир Дмитриевич

доктор физико-математических наук, профессор, заведующий кафедрой физики, Пензенский государственный университет

E-mail: physics@pnzgu.ru

#### Семенов Михаил Борисович

доктор физико-математических наук, профессор, кафедра физики, Пензенский государственный университет

E-mail: physics@pnzgu.ru

#### Зайцев Роман Владимирович

кандидат физико-математических наук, доцент, кафедра физики, Пензенский государственный университет

E-mail: physics@pnzgu.ru

#### Арынгазин Аскар Канапьевич

доктор физико-математических наук, директор Института фундаментальных исследований, Евразийский национальный университет имени Л. Н. Гумилева (Астана, Казахстан); профессор института фундаментальных исследований (Флорида, США)

E-mail: physics@pnzgu.ru

#### Кенджи Ямамото

профессор, директор исследовательского института при Международном медицинском центре (Токио, Япония)

E-mail: physics@pnzgu.ru

# Рудин Вадим Александрович

аспирант, Пензенский государственный университет

E-mail: physics@pnzgu.ru

# Krevchik Vladimir Dmitrievich

Doctor of physical and mathematical sciences, professor, head of sub-department of physics, Penza State University

#### Semyonov Mikhail Borisovich

Doctor of physical and mathematical sciences, professor, sub-department of physics, Penza State University

#### Zaytsev Roman Vladimirovich

Candidate of physical and mathematical sciences, associate professor, sub-department of physics, Penza State University

#### Aryngazin Askar Kanapyevich

Doctor of physical and mathematical sciences, director of the Institute of Fundamental Research, Eurasian National University named after L. N. Gumilyov (Astana, Kazakhstan); professor, Institute of fundamental research research (Florida, USA)

# Kenji Yamamoto

Professor, Director of Research Institute of International Clinical Center (Tokyo, Japan)

#### Rudin Vadim Alexandrovich

Postgraduate student, Penza State University Кревчик Павел Владимирович

студент, Пензенский

государственный университет

E-mail: physics@pnzgu.ru

Егоров Илья Андреевич

студент, Пензенский

государственный университет

E-mail: physics@pnzgu.ru

Krevchik Pavel Vladimirovich

Student, Penza State University

Egorov Ilya Andreevich

Student, Penza State University

УДК 539.23; 539.216.1; 537.311.322

Особенности диссипативного туннелирования в квантовой молекуле с учетом двух фононных мод диэлектрической матрицы / В. Д. Кревчик, М. Б. Семенов, Р. В. Зайцев, А. К. Арынгазин, К. Ямамото, В. А. Рудин, П. В. Кревчик, И. А. Егоров // Известия высших учебных заведений. Поволжский регион. Физико-математические науки. — 2012. — № 4 (24). — С. 135—149.